

# Correlação de diferentes índices vegetativos com índice de clorofila e produtividade da cultura da soja

Carlos Eduardo Kinalski Colla<sup>1</sup>; Helton Aparecido Rosa<sup>2</sup>

<sup>1</sup>Curso de Agronomia, Centro Universitário Assis Gurgacz (FAG), Cascavel, Paraná.

<sup>1\*</sup>carlos.kinalski.colla@hotmail.com

**Resumo:** A produção de grãos em geral cada vez mais vem tendo tendências a maximizar níveis produtivos reduzindo custos derivados de excessos de aplicações desnecessárias, tendo em vista a grande importância do sensoriamento remoto e a agricultura de precisão neste processo. Deste modo, o presente trabalho teve como objetivo correlacionar os índices vegetativos NDVI, VARI e NDRE obtidos por sensores presente no satélite Sentinel-2 com os índices de clorofila A e B da cultura da soja em relação a produtividade final. O trabalho foi realizado no Centro Universitário da Fundação Assis Gurgacz localizado em Cascavel-PR. Para a aquisição de dados a campo, os 21 pontos amostrais foram distribuídos em grid regular de 100x100 m na área experimental, onde em cada ponto foram coletadas de três plantas o nível de clorofila 83 dias após a semeadura (DAS). Para a produtividade, colheu-se 2 m<sup>2</sup> em cada ponto amostral, que posteriormente foram extrapolados para kg ha<sup>-1</sup>. Para a geração dos mapas de produtividade e de índice de clorofila foi realizada interpolação pelo método de Krigagem Ordinária com o uso do complemento *Smart-Map* presente no *software* QGIS. Os resultados da correlação de Pearson foram obtidos a partir do *software* Minitab 17. Na correlação entre dados produtivos e índices vegetativos, há significância dos dados obtidos a campo em relação a todos os índices utilizados, em destaque NDVI e VARI. As maiores correlações entre índice Clorofila A e B e índices de vegetação aconteceram em 91 DAS. Existe viabilidade na utilização de sensores oriundos do Sentinel-2 para aquisição de dados de sensoriamento remoto.

**Palavras-chave:** NDVI; Agricultura de precisão; Sensoriamento remoto.

## Correlation of different vegetative index with chlorophyll index and productivity of the soybean crop

**Abstract:** Grain production in general is increasingly tending to maximize production levels by reducing costs derived from excess unnecessary applications, given the great importance of remote sensing and precision agriculture in this process. Thus, the present work aimed to correlate the NDVI, VARI and NDRE vegetative index obtained by sensors on the Sentinel-2 satellite with the levels of chlorophyll A and B in soybean in relation to final productivity. The work was carried out at the Center University of Foundation Assis Gurgacz located in Cascavel-PR. For field data acquisition, the 21 sampling points were distributed in an established grid of 100x100 m<sup>2</sup> in the experimental area, where at each point the chlorophyll level 83 days after sowing (DAS) were collected from three plants. For productivity, 2 m<sup>2</sup> were collected at each sampling point, which were later extrapolated to kg ha<sup>-1</sup>. To generate yield and chlorophyll maps, interpolation was performed using the Ordinary Kriging method using the smart-map complement present in the QGIS software. The results of Pearson's correlation were obtained from the Minitab 17 software. In the correlation between productive data and vegetative indices, there is significance of the data obtained in the field in relation to all the indices used, especially NDVI and VARI. The highest correlations between Chlorophyll A and B index and vegetation indices occurred in 91 DAS. There is feasibility in using sensors from Sentinel-2 for data acquisition in relation to remote sensing.

**Keywords:** NDVI; Precision agriculture; Remote sensing.

## Introdução

A agricultura de precisão vem sendo uma ferramenta necessária e utilizada nos campos produtivos brasileiros, uma vez que o sensoriamento remoto é de extrema importância para a projeção de um ciclo cultural eficiente e produtivo, tendo em vista que são técnicas que por finalidade é aumentar significativamente a produtividade a campo, reduzindo custos e utilizando de maneira precisa sem aplicação em excessos dos insumos agrícolas.

Tendo em vista que a agricultura de precisão busca atingir altos níveis de produção, as ferramentas que são utilizadas, são altamente sofisticadas e possuem grande precisão em análises a campo, seja em parâmetros vegetativos ou em análises espectro-temporal (MONTEIRO, 2021). O sensoriamento remoto é definido por ser um método onde, o objetivo é obter dados e informações por meio remoto sem que haja a necessidade de contato direto com o objeto (LIU, 2007). Sendo assim o sensoriamento remoto só é realizado com auxílio de sensores, sejam orbitais ou não orbitais, onde tem como foco captar diferentes ondas refletidas sobre objetos, sendo que cada um possui sua forma espectral possibilitando assim a geração de mapas e análises remotas de acontecimentos a campo (SANTOS; LIMA, 2018).

A combinação aritmética das bandas obtidas pelos sensores, refletidas na vegetação as bandas espectrais, infravermelha e borda vermelha, são conhecidos como índices vegetativos (IVs), que se tornam capazes de aprofundar estudos onde caracterizam condições fisiologias vegetais das plantas e sua atividade ao decorrer do ciclo produtivo (ATZBERGER, 2013).

O NDVI (*Normalized Difference Vegetation Index*) é definido por ser um índice que quantifica o volume foliar de uma determinada vegetação, sendo assim, caracterizando-a em um determinado período de tempo (ZANZARINI *et al.*, 2013). Os resultados obtidos a partir do NDVI, podem variar entre -1 e 1, onde valores mais próximos de 1 indicam que em determinado ponto a planta está com alta densidade vegetativa o que influi aspectos positivos para o desenvolvimento da cultura, já valores aproximados de -1 indicam deterioração da massa vegetal. (BRAZ; AGUAS; GARCIA, 2015).

O VARI (*Visible atmospheric resistance index*), é considerado um índice de vegetação minimamente sensível a atmosfera, tendo por objetivo a medição quão verde é a área de estudo. Diferentemente dos índices NDRE e NDVI, o VARI apresenta em sua composição apenas comprimento de onda na área do visível, sendo assim ausente comprimentos da banda infravermelho e Red Edge (SCHENEIDER, 2008).

Índice utilizado durante muitos anos de pesquisa denominado NDRE (*Normalized Difference Red Edge*) utiliza banda de bordas vermelhas (RE) e banda de infravermelho próximo (NIR) para definir a densidade e condições da vegetação (RITCHIE, 2010).

Com a modernização dos sensores e a maior aplicabilidade da radiometria espectral, a precisão vem cada vez mais aumentando. E com o auxílio de softwares que corrigem e processam imagens a obtenção de dados referentes a cada material refletido é intensificada, distinguindo os comprimentos de onda seja de área vegetal ou solo (PADOLFI; RAMALDES; SANTOS, 2018). Uma vez que estas informações são obtidas, a associação de dados acaba se correlacionando com características fisiológicas das culturas (BRANDÃO *et al.*, 2008).

A clorofila A tem grande importância no processo de desenvolvimento da cultura, sendo responsável por grande parte dos processos fotossintéticos das plantas, em principal realizando a produção de diversas substâncias orgânicas que impactam diretamente na qualidade da formação de grãos e qualidade vegetativa. Completando parte do processo a clorofila B tem por objetivo refinar os mecanismos oriundos da clorofila A, sendo que são menos presentes em relação a clorofila A, podendo assim ser considerada como uma clorofila acessório (STREIT *et al.*, 2005).

A cultura da soja é de grande importância, sendo uma das principais commodities de exportação do Brasil, na safra 2021/22 houve um crescimento de 4,4% da área de soja cultivada em relação à safra anterior (CONAB, 2022). Na safra 2021/22, o Brasil produziu 123,8 milhões de toneladas de soja, com médias produtivas de 3.026 kg ha<sup>-1</sup>, somente no estado do Paraná, foram 19,9 milhões de toneladas (CONAB, 2022). Sendo uma das mais importantes culturas para a economia, e com o aumento de exportação, existe necessidade de elevar as produtividades, e uma das maneiras para isso é a utilização de agricultura de precisão, utilizando os insumos de forma mais racional e assertiva.

Sendo assim, o presente estudo teve como objetivo correlacionar os índices vegetativos NDVI, VARI e NDRE obtidos por sensores presente no satélite Sentinel-2 com os níveis de clorofila A e B da cultura da soja em diferentes estádios em relação a produtividade final.

### **Material e Métodos**

O experimento foi conduzido na safra agrícola 2021/2022 em uma área experimental de 21 hectares, localizada no Centro Universitário da Fundação Assis Gurgacz, na cidade de Cascavel, região oeste do estado do Paraná. A área de estudo está localizada nas coordenadas geográficas 24°56'20.2"S e 53°31'02.7"W, com a altitude de 700 m ao nível do mar.

A cultivar presente na área de estudo foi Brasmax Zeus IPRO® que possui ciclo de maturação precoce e boa resistência ao acamamento de plantas, a data em que foi realizada a

semeadura foi 26/10/2021, a coleta de clorofila ocorreu 17/01/2022 e a colheita realizada em 01/03/2022.

O solo da região de estudo é classificado como Latossolo vermelho distroférico típico, de textura argilosa (BHERING, 2007), o clima da região experimental é classificado como Cfa segundo a classificação Köppen-Geiger com média de temperatura de 13° C a 15° C, sendo mesotérmico brando 1 (EMBRAPA, 2012).

A área foi delimitada e marcada com base em um grid definido em 100x100 metros para a geração dos pontos experimentais (Figura 1).

**Figura 1** – Área experimental, grid e pontos amostrais.



Fonte: O autor (2022).

Para a aquisição de dados, foram utilizadas imagens do sensor MSI, localizado no satélite Sentinel-2, que foram disponibilizadas gratuitamente no *Earth Observing System* (<https://eos.com/pt/>). As cenas baixadas são derivadas do produto L2A, uma vez que passam por correções atmosféricas. O sensor orbital presente no satélite Sentinel-2 fornece dados com alta resolução de imagem, em 13 bandas espectrais (Tabela 1), com resolução temporal de 5 dias.

**Tabela 1** - Bandas espectrais do sensor MSI, presente no satélite Sentinel-2.

Resolução	Nº da banda	Nome da banda	Comprimento de onda (nm)
10 m	B02	Azul (B)	490
	B03	Verde (G)	560
	B04	Vermelho (R)	665
	B08	Infravermelho Próximo (NIR)	842
20 m	B05	Red Edge 1	705
	B06	Red Edge 2	740
	B07	Red Edge 3	783
	B08A	Red Edge 4	865
	B11	SWIR 1	1610
	B12	SWIR 2	2190
60 m	B01	Aerossol	443
	B09	Water Vapor	940
	B10	Cirrus	1375

Fonte: Adaptado de Engesat (2021).

Para o processamento de imagem e aplicação dos índices vegetativos foi utilizado o *software* QGIS Standalone 3.16®, onde foi aplicado os índices NDVI (Equação 1), VARI (Equação 2) e NDRE (Equação 3).

$$NDVI = \frac{B08(Nir) - B04(Red)}{B08(Nir) + B04(Red)} \quad (\text{Equação 1})$$

Em que:

NDVI = Índice de vegetação por diferença normalizada.

Nir = Refletância na banda do infravermelho próximo (Nm).

Red = Refletância na banda do vermelho (Nm).

$$VARI = \frac{B03(G) - B04(R)}{B03(G) + B04(R) - B02(B)} \quad (\text{Equação 2})$$

Em que:

VARI = Índice Resistente à Atmosfera na Região Visível.

R = Refletância na banda do vermelho (Nm).

G = Refletância na banda do verde (Nm).

B = Refletância na banda do azul (Nm).

$$NDRE = \frac{B08(Nir) - B05(Rededge)}{B08(Nir) + B05(Rededge)} \quad (\text{Equação 3})$$

Em que:

NDRE = Índice de borda vermelha de diferença normalizada.

Nir (B08) = Refletância na banda do infravermelho próximo (Nm).

Rededge (B05) = Refletância na banda de borda vermelha (Nm).

Com o auxílio do complemento de agricultura de precisão: *Smart-Map* do *software* QGIS®, foram gerados os mapas de produtividade pelo método de interpolação de dados por Krigagem ordinária. Para fins de uniformização e correlação dos dados na área experimental, foi utilizado um buffer de 30 metros em cada ponto amostral.

Todas as análises foram realizadas entre o ciclo da cultura da soja sendo coletados os dados dos IV's em 36, 66, 91 e 111 DAS, a coleta de clorofila ocorreu 83 DAS, a colheita foi realizada 126 DAS.

Para a aquisição de dados a campo, os níveis de clorofila foram obtidos com um clorofilômetro ClorofiLOG Falker, fornecendo os resultados instantaneamente, sendo adquirido dados de três plantas por ponto amostral.

A coleta de dados produtivos após o fim do ciclo cultural foi realizada manualmente com dois metros quadrados por ponto amostral, onde dentro do talhão estudado, cada ponto foi posicionado numa grade 100x100 metros. Os grãos obtidos da coleta, foram debulhados manualmente e em seguida foram pesados, e dispostos a análise de umidade, sendo corrigidos a 13% de umidade (BRASIL, 2009), obtendo assim o peso de grãos, a fim de corrigir de para quilogramas por hectare ( $\text{Kg ha}^{-1}$ ).

Após a coleta e processamentos dos dados, os mesmos foram dispostos ao teste de normalidade de Shapiro-wilk, que para haver normalidade na distribuição dos dados, o valor  $p$  deve obrigatoriamente ser maior que 0,05 (MIOT, 2017).

Com os dados de produtividade, foi feita a análise estatística descritiva. Para o coeficiente de variação foram avaliados de acordo com a classificação: baixo (< 10%); médio (entre 10 e 20%); alto (entre 20 e 30%) e muito alto (> 30%) (GOMES, 2009).

Uma vez que os dados apresentam normalidade, foi utilizado para a análise de correlação, foi utilizado o coeficiente de correlação de Pearson (Equação 4), estruturando uma medida onde se associa a força do grau de relacionamento entre duas variáveis (GARSON, 2009).

$$r = \frac{n \sum_{i=1}^n x_i \cdot y_i - \sum_{i=1}^n x_i \cdot \sum_{i=1}^n y_i}{\sqrt{n \sum_{i=1}^n x_i^2 - (\sum_{i=1}^n x_i)^2} \cdot \sqrt{n \sum_{i=1}^n y_i^2 - (\sum_{i=1}^n y_i)^2}} \quad (\text{Equação 4})$$

Os dados do coeficiente de correlação de Pearson foram obtidos com auxílio do *software* Minitab®, onde realizou-se o teste de significância a 5% de probabilidade.

Para fins de avaliação em relação a correlação, foi utilizado a classificação em que  $r$  tem possibilidade de ser avaliado qualitativamente, avaliação esta proposta por Callegari-Jacques (2003), onde é determinado a partir dos seguintes intervalos:  $0,9 \leq |r| \leq 1,0$ , representa uma correlação muito forte;  $0,7 \leq |r| < 0,9$ , representa uma correlação forte;  $0,4 \leq |r| < 0,7$ , representa em uma correlação moderada,  $0,2 \leq |r| < 0,4$ , representa uma correlação fraca e  $0,0 \leq |r| < 0,2$  representa uma correlação muito fraca.

Para realizar a krigagem com o complemento *Smart-Map* utilizou-se os seguintes modelos matemáticos definidos a partir da validação cruzada (Tabela 2).

Para medir e classificar o grau de dependência espacial, foi utilizado o índice proposto por Cambardella *et al.* (1994), na qual é definida pela seguinte equação:

$$IDE = \frac{C_0}{C_0 + C_1} \quad (\text{Equação 5})$$

Em que:

$C_0$  = Efeito Pepita

$C_0 + C_1$  = Patamar

Os valores são assumidos entre 0 e 1, onde que o IDE menor que 0,25 significa dependência espacial forte, valores do intervalo entre 0,25 e 0,75 indica dependência espacial moderada, e valores acima de 0,75 caracteriza dependência espacial fraca (CAMBARDELLA *et al.*, 1994).

## Resultados e Discussão

Ao realizar a estatística descritiva, obteve-se os dados referentes aos índices de vegetação em relação as diferentes cenas fornecidas pelo Sentinel-2 como é descrito na Tabela 2.

**Tabela 2** – Estatística descritiva entre os IV's em diferentes cenas do Sentinel-2.

Estatística Descritiva					
IV's	Valor	Valor	Valor	Desvio	CV (%)
NDRE	Máximo	Mínimo	Médio	Padrão	
<b>36 DAS</b>	0,46	0,18	0,37	0,036	10
<b>66 DAS</b>	0,25	0,61	0,55	0,046	8
<b>91 DAS</b>	0,11	0,34	0,28	0,034	12
<b>111 DAS</b>	0,09	0,33	0,23	0,029	12
<b>NDVI</b>					
<b>36 DAS</b>	0,27	0,69	0,53	0,052	9
<b>66 DAS</b>	0,38	0,82	0,71	0,049	6
<b>91 DAS</b>	0,19	0,49	0,42	0,042	10
<b>111 DAS</b>	0,16	0,52	0,38	0,041	10
<b>VARI</b>					
<b>36 DAS</b>	-0,33	0,08	-0,09	0,051	---
<b>66 DAS</b>	-0,27	0,36	0,14	0,079	58
<b>91 DAS</b>	-0,15	0,15	0,07	0,040	57
<b>111 DAS</b>	-0,16	0,13	0,05	0,039	82

Fonte: O Autor (2022). DAS = Dias após a semeadura.

CV = Coeficiente de variação. IV's = Índices de vegetação.

Ao observar os dados obtidos nota-se que o coeficiente de variação é menor em relação ao NDVI, segundo a literatura para dados obtidos menores que 10% indica que há baixo valor do coeficiente de variação relacionando os IV's e os demais dados, sendo assim todos os resultados nas datas de NDVI e NDRE (36 DAS e 66 DAS) constou baixa variação dos dados, para valores expressos entre 10-20% indica média variação dos dados como é observado no índice NDRE nas datas 91 e 111 DAS, dados superiores a 30% são definidos por ter variação muito alta sendo apresentados nas demais datas observadas.

Analisando os mapas de NDVI (Figura 2), pode-se observar que 66 DAS apresentou as maiores médias registradas na maior parte do talhão de estudo, aonde a faixa foi de 0,68 - 0,81, motivo este ligado à cultura da soja estar no período crítico de desenvolvimento de massa verde, já que as plantas estão com alta taxa fotossintética e alta formação da densidade foliar, obtendo assim maiores valores.

Importante salientar que, o índice NDVI, é regido por um intervalo de 1 a -1, uma vez que 66 DAS apresentou a faixa mais aproximada de 1, infere diretamente em que, na quantidade apresentada de massa verde há bons indicativos de densidade foliar ao se referir a cultura da soja (BRAZ; AGUAS; GARCIA, 2015).

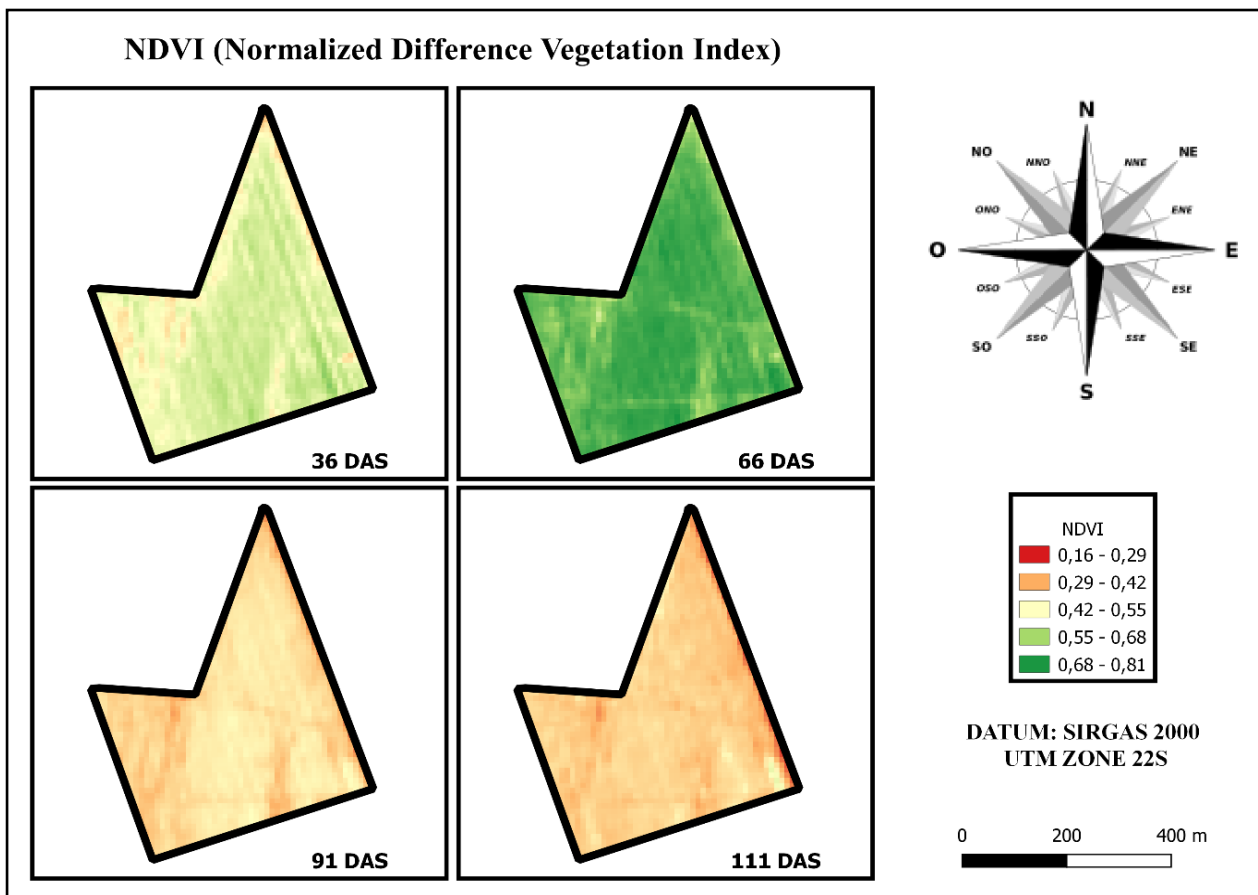
O registro obtido no 36 DAS, mostra que em grande parte da extensão do talhão a faixa média obtida foi entre os intervalos de 0,42 – 0,55, o intervalo médio registrado indica que a



cultura estava no processo inicial de desenvolvimento, não apresentando altos valores pois não há grande densidade de massa verde ainda.

As demais datas, 91 DAS e 111 DAS, apresentaram os menores valores entre os intervalos, sendo que estes se mantiveram na faixa de 0,29 – 0,42, e pode ser explicado pelo motivo de que a cultura estava no processo de maturação fisiológica, com folhas apresentando amarelecimento e em alguns casos ocorrendo a queda das mesmas oriundo à seca no fim do ciclo.

**Figura 2** – Mapas do *Normalized Difference Vegetation Index* (NDVI).



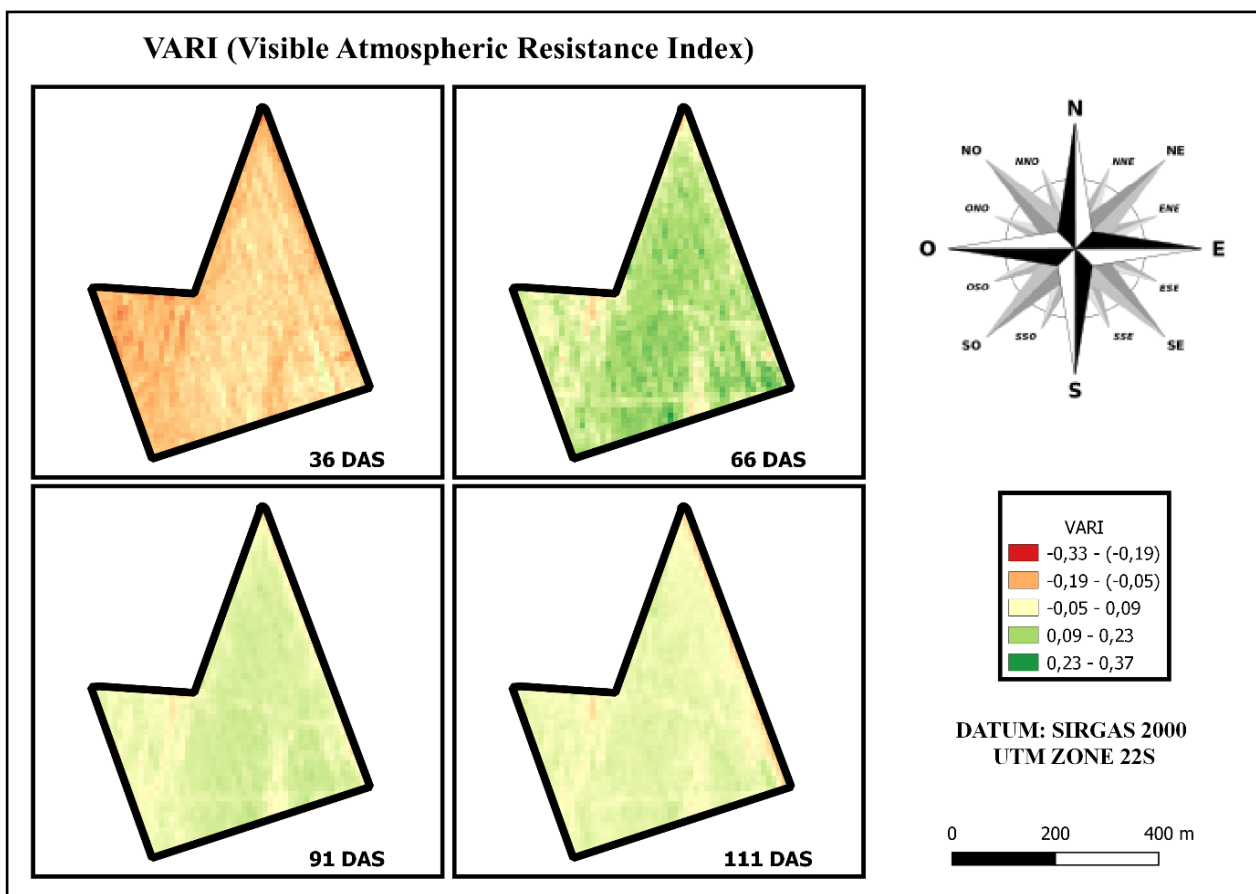
Ao observar os mapas de VARI (Figura 3), é notável que 66 DAS foi a data que obteve as maiores médias, sendo a maior extensão presente no intervalo de 0,09 – 0,23, estas médias são explicadas pelo motivo de que a cultura está demonstrando alto nível de pigmentação sendo que a mesma está no período crítico vegetativo para reprodutivo (V8 – R3), onde há a formação de vagens e influencia no começo do enchimento de grãos, assim de grande importância para o desenvolvimento apresentando folhas bem pigmentadas em grande atividade fotossintética.

Para 91 e 111 DAS, o intervalo médio para maior parte do mapa foi entre -0,05 – 0,09, nestas datas é possível observar a redução dos intervalos comparados com 66 DAS, pois a

cultura estava no processo de maturação, demonstrando redução no volume de pigmentação verde a ocorrendo o amarelecimento das folhas. A data que obteve as menores médias foi de 36 DAS, onde a maioria estavam dispostos na faixa de -0,19 – (-0,05), por se tratar do início do ciclo cultural, com plantas recém emergindo, as menores médias foram registradas, pois não havia grande pigmentação e baixo volume verde por parte das plantas.

Baixos valores do índice VARI, podem ser utilizados para identificar que a cultura pode estar passando por algum estresse, seja hídrico ou nutricional, sendo que o índice VARI tem grande relação ao nível de pigmentação da cultura, podendo ser assim um indicativo de redução de clorofila (VINA, 2004).

**Figura 3** – Mapas do *Visible atmospheric resistance index* (VARI).



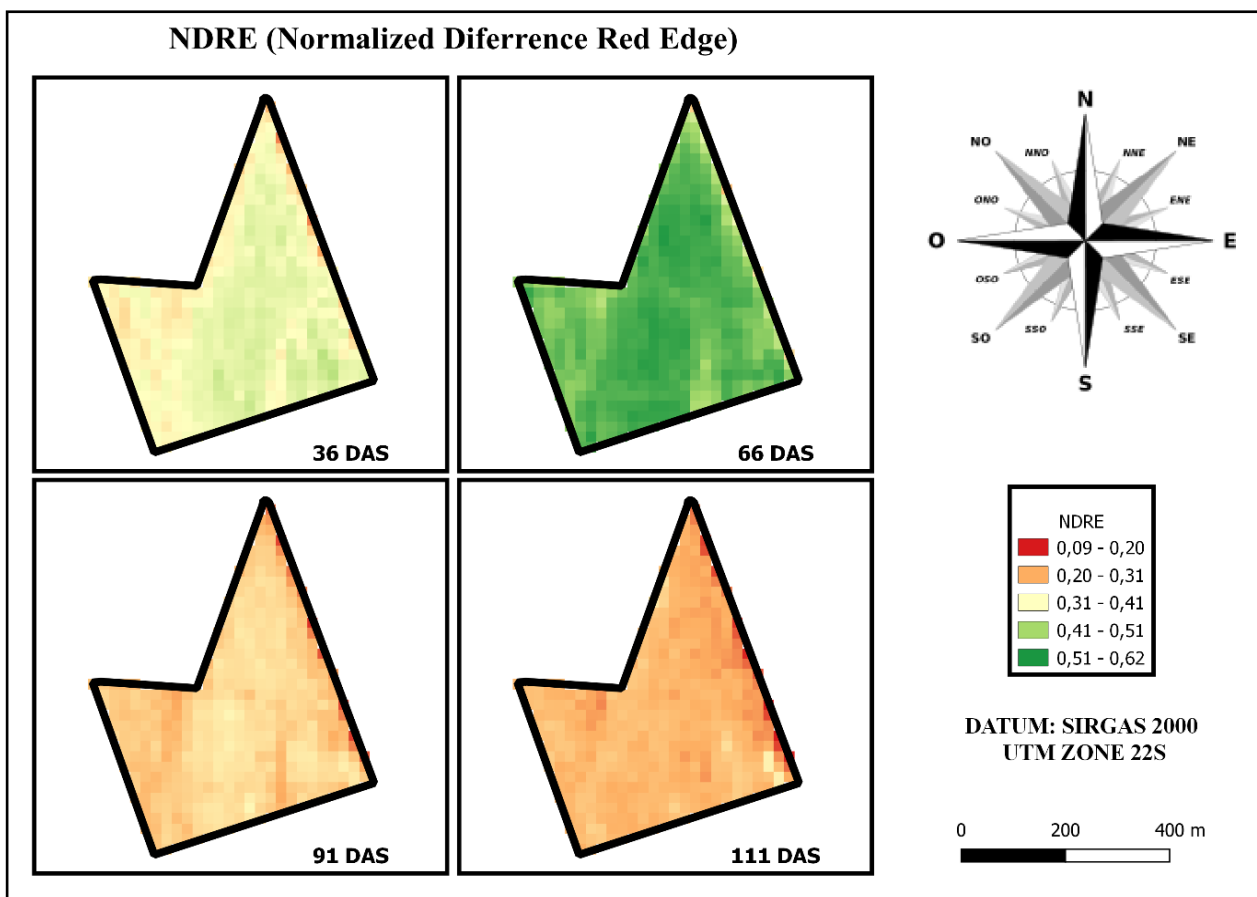
Os mapas gerados a partir do NDRE (Figura 4), demonstraram que em 66 DAS, obteve-se as maiores médias na extensão, sendo grande parte da área estando entre os intervalos de 0,51 – 0,62, observando assim que, o estado da cultura a campo influi condições positivas a mesma, sendo um período em que a densidade da vegetação é alta e bem fechada.

Em 36 DAS os valores obtidos foram registrados entre o intervalo de 0,31 – 0,41 notando que, por estar no período de desenvolvimento inicial da cultura logo após a

germinação das plantas, são valores que representam média densidade de vegetação, apontando pontos em que não há total cobertura da área até o momento observado. As menores médias obtidas foram nos períodos de 91 e 111 DAS, onde a maior extensão do talhão obteve dados na faixa de 0,20 – 0,31, o fato ocorrido é devido a senescência das folhas devido a maturação fisiológica da cultura. É perceptível através da Figura 4, que houve um processo de degradação da densidade de vegetação da data de 91 DAS à 111 DAS e assim sucessivamente até a o termino do ciclo cultural.

Como o NDRE é gerado a partir de cenas de banda Red Edge e estas possuem a resolução de 20 m diferentemente do NDVI e VARI (ambos 10 m), automaticamente os mapas gerados reduzem a precisão apresentando pixels maiores.

**Figura 4** – Mapas do *Normalized Diferrence Red Edge* (NDRE).



O índice NDRE indica condições da densidade da vegetação, uma vez que baixos níveis no período crítico de desenvolvimento da cultura podem indicar uma possível degradação foliar da cultura, conseqüentemente podendo levar a problemas produtivos (RITCHIE, 2010).

A tabela 3 mostra os modelos matemáticos e respectivos dados referentes a Krigagem ordinária realizada para a geração dos mapas.

**Tabela 3** – Modelos e distâncias utilizados para a Krigagem ordinária no *Smart-Map*.

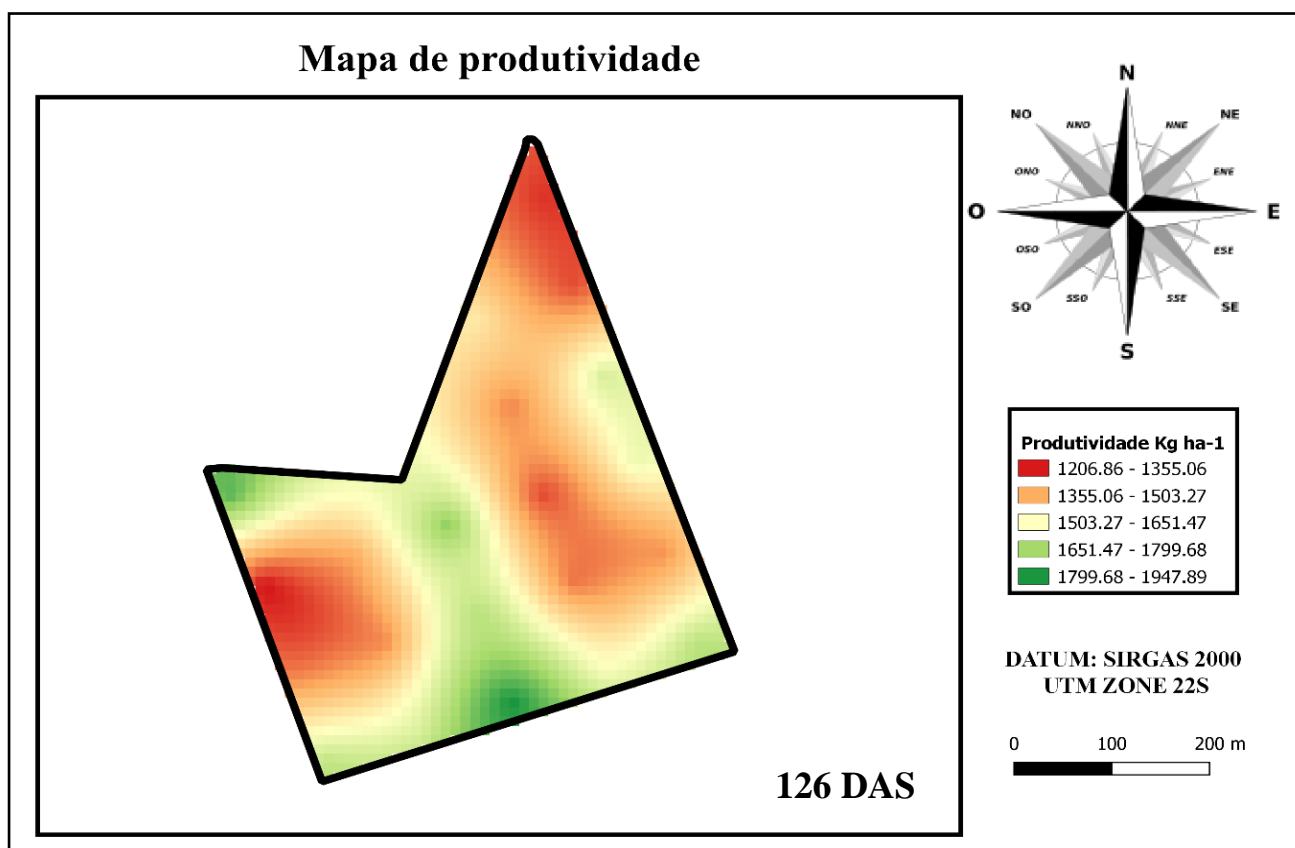
Mapas	Modelo	Co	C	Co + C	Alcance	IDE
Produtividade	Exponencial	26442,65	35256,92	61699,57	640,31	0,57
Clorofila A	Gaussiano	1,11	2,129	3,239	284,19	0,65
Clorofila B	Gaussiano	0,065	0,796	0,861	284,19	0,92

C0 = efeito pepita; (C1+C0) = patamar; IDE = Índice de dependência espacial.

É observado que segundo a classificação de Cambardella *et al.* (1994), os mapas de produtividade e índice de clorofila A apresentaram uma dependência espacial moderada, já o mapa de índice de clorofila B mostrou ter uma dependência espacial fraca.

Observando o mapa de produtividade (Figura 5), é notável que os dados obtidos demonstram baixa dispersão nos dados, uma vez que o coeficiente de variação foi igual a 10%. A produtividade observada na área experimental foi de 1206,86 a 1947,89 kg ha<sup>-1</sup>, sendo que na maior parte do talhão, teve valores no intervalo de 1503,27 – 1651,47 kg ha<sup>-1</sup>.

**Figura 5** – Mapa de produtividade.



É possível notar também que a cultura foi conduzida num período onde a região do experimento (Oeste paranaense), nos meses de novembro, dezembro, janeiro e fevereiro passou por restrições por falta de precipitação, sendo estas restrições nos períodos de desenvolvimento vegetativo, floração, enchimento de grãos, maturação e colheita (CONAB, 2022), assim estes fatores influenciando diretamente na produtividade. O volume de chuva registrado na região é mostrado na tabela 4.

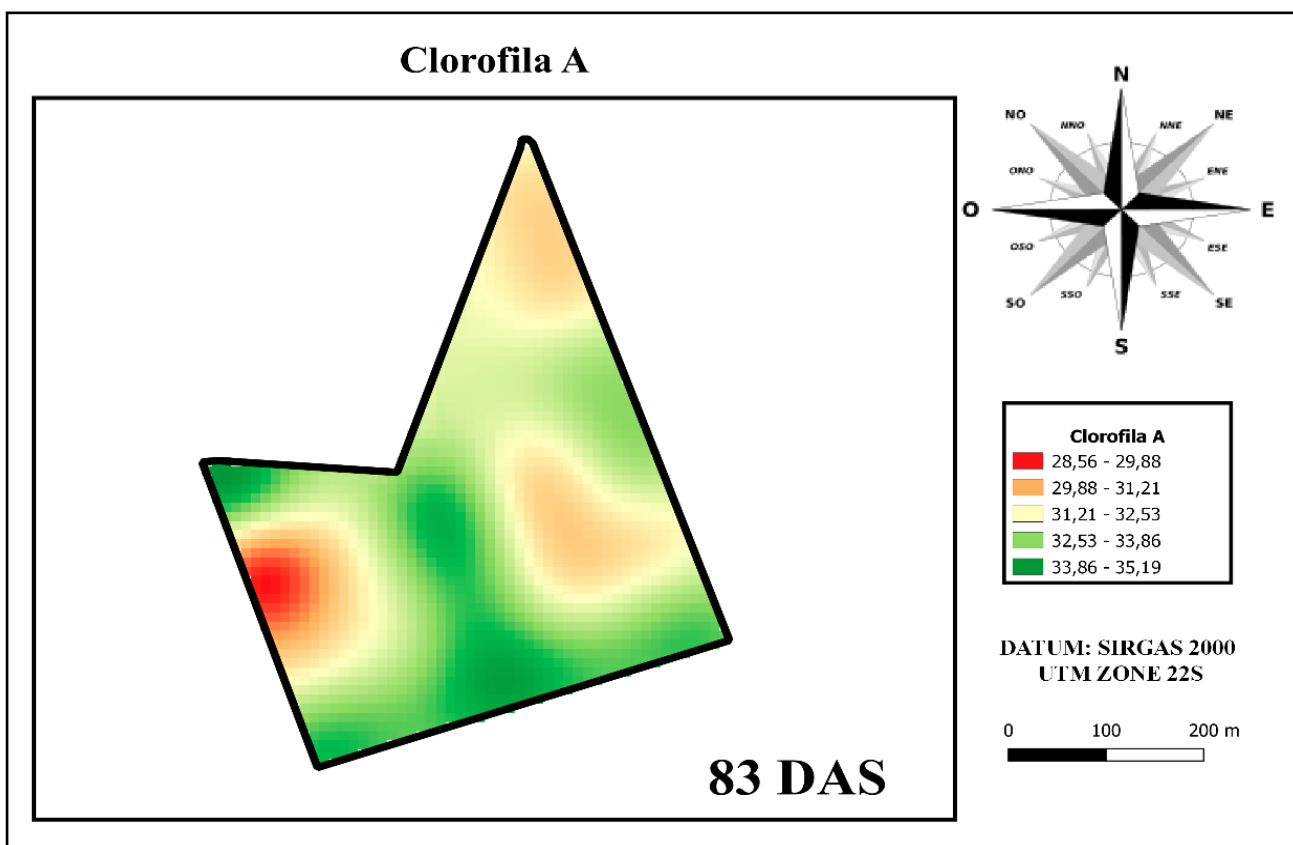
**Tabela 4** - Volume de precipitação entre os meses de outubro à fevereiro em Cascavel-PR

Meses	Outubro	Novembro	Dezembro	Janeiro	Fevereiro
Precipitação (mm)	446,9	68,8	37,2	159,5	65,9

Fonte: AGUASPARANÁ, 2022.

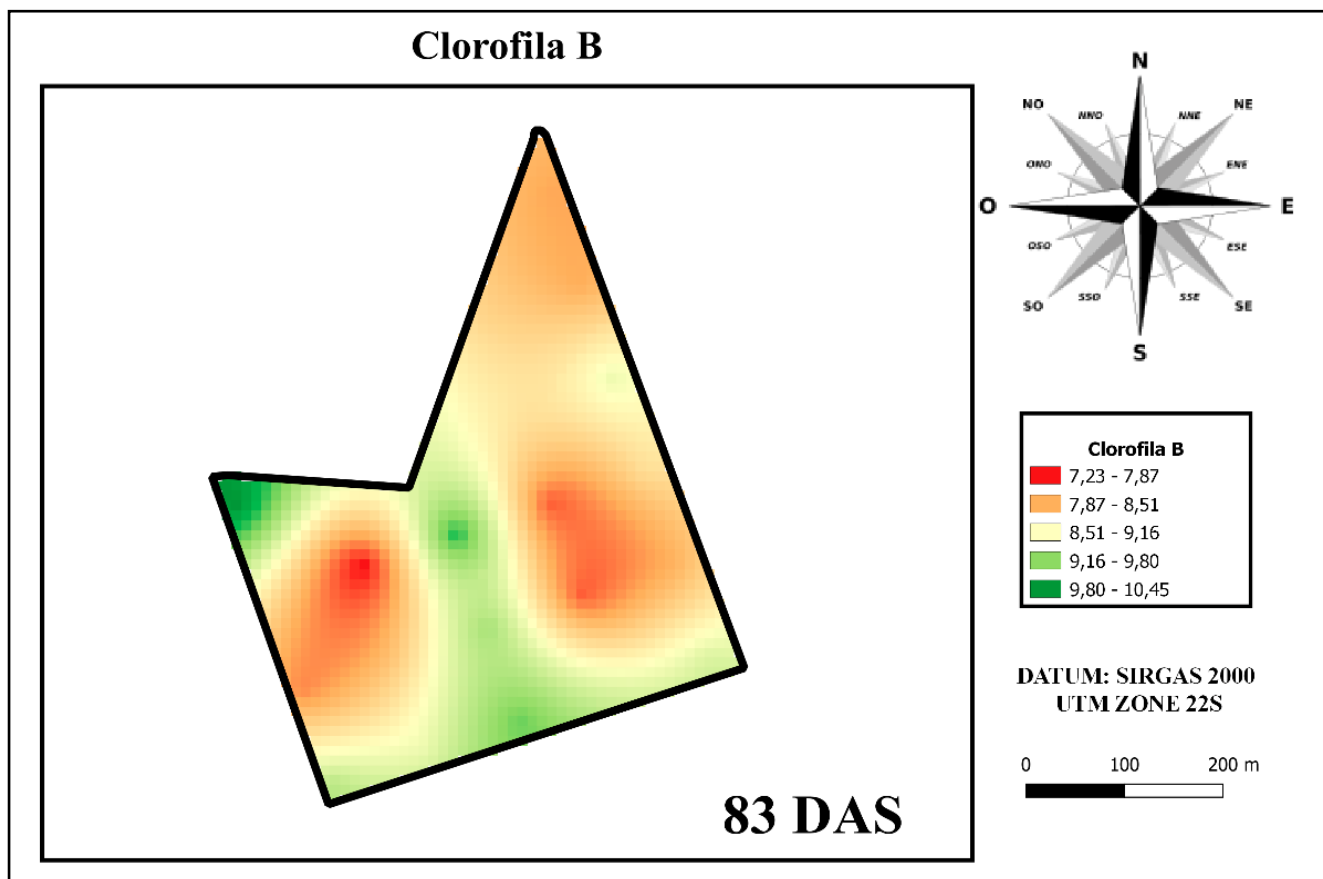
Ao visualizar o mapa de índice de clorofila A (Figura 6), pode-se observar que o intervalo total registrado foi de 28,56 – 35,19 para Clorofila A, sendo que a maior parte da área teve médias registradas na faixa de 32,53 – 33,86. É de grande importância ao se referir a enchimento de grãos, qualidade da massa vegetal e eficiência fotossintética, a clorofila A desempenha papel fundamental para alcançar tetos produtivos que a cultura pode fornecer, ampliando juntamente com boas condições climáticas e manejo adequado a rentabilidade.

**Figura 6** – Mapa de índice Clorofila A



O mapa de índice de clorofila B (Figura 7) mostra que na área experimental os limites observados foram de 7,27 – 10,45, onde grande parte do mapa teve média entre o intervalo de 8,51 – 9,16. Não menos importante o índice de clorofila B é representativo ao se referir a produtividade, uma vez que esta diretamente relacionada com a clorofila A, sendo uma grande cooperadora na produção e refinadora da mesma (STREIT *et al.*, 2005).

**Figura 7** – Mapa de índice de Clorofila B.



O resultado da matriz da correlação de Pearson, apresentou os seguintes dados de produtividade, clorofila A e B (Tabela 5).

**Tabela 5** – Matriz de Correlação de Pearson entre os dados de produtividade da soja e índices de Clorofila A e B em 83 DAS.

	Produtividade	Clorofila A	Clorofila B
Produtividade	1,00		
Clorofila A	0,94*	1,00*	
Clorofila B	0,85*	0,79*	1,00*

Fonte: O Autor (2022). \*Significativo (p-valor <0,05). DAS = Dias após a semeadura.

Segundo dados obtidos pela matriz de correlação de Pearson, os dados de produtividade, clorofila A e B em 83 DAS são estatisticamente significantes. É notável que os

dados entre o índice de clorofila A e B e da produtividade estão com alto grau de correlação, o que pode ser explicado pelo fato de que, há uma homogeneidade entre os dados na distribuição a campo, principalmente para clorofila A, onde os pontos da mesma em relação aos pontos de produtividade possuem alto grau de semelhança, tanto quanto a posição geográfica quanto aos valores adquiridos.

Ao correlacionar os dados de produtividade da soja e os índices vegetativos (Tabela 6), é notável que as maiores médias são para 91 DAS com os IV's VARI e NDVI (0,62 – 0,59), assim mostrando maior correlação e classificadas como moderadas, seguidas de 111 DAS com os IV's VARI e NDVI (0,56 – 0,49), e por fim as menores médias registradas para 66 DAS com os IV's NDRE e NDVI (0,58 – 0,48), os demais não apresentarão correlação significativa em destaque para a data de 36 DAS que não apresentou nenhuma significância entre todos os IV's indicando a partir do intervalo classificando-as como correlação fraca.

**Tabela 6** – Correlação de Pearson entre os dados de produtividade da soja os IV's (VARI, NDVI, NDRE) em diferentes cenas do satélite Sentinel-2.

IV's	36 DAS	66 DAS	91 DAS	111 DAS
VARI	0,35	0,39	0,62*	0,56*
NDVI	0,33	0,48*	0,59*	0,49*
NDRE	0,21	0,58*	0,42	0,41

Fonte: O Autor (2022). \*Significativo (p-valor <0,05). DAS = Dias após a semeadura.

Carneiro (2018), conduzindo experimentos com a cultura da soja em Jaboticabal – SP, em condições semelhantes de solo argiloso, obteve resultados diferentes aos observados ao relacionar os IV's com a produtividade, onde que para NDVI e NDRE não houve significância, obtendo médias no intervalo entre todas as datas de 0,00 – 0,22 para ambos. O que pode ser explicado devido ao menor desenvolvimento momentâneo da planta.

Groff (2010), realizou um experimento na cidade de Ponta Grossa – PR com o auxílio de um espectro radiômetro obtendo a refletância do dossel com comprimento de ondas 590 – 880nm, ao correlacionar valores de NDVI e produtividade obteve valores significativos semelhantes aos valores encontrados, uma vez que observou o intervalo de 0,54 – 0,68, para 40 DAS.

Avaliou-se que ao correlacionar os dados de índice de Clorofila A e os índices vegetativos (Tabela 7), foi possível observar que os dados de correlação mais significativos ocorreram nas datas de 91 DAS com os índices de VARI e NDVI (0,66 – 0,62) e 66 DAS para todos os IV's. Posteriormente nas datas de 36 DAS os índices NDVI e VARI (0,48 – 0,47) e 111 DAS para o VARI (0,52) obteve correlação significativa, sendo todas

classificadas como correlação moderada, os demais dados não houveram correlação significativa abrangido assim exceto o NDRE para 91 DAS e classificando-as como correlação fraca.

**Tabela 7** - Correlação de Pearson entre os dados de índice de Clorofila A (83 DAS) e os IV's (VARI, NDVI, NDRE) em diferentes cenas do satélite Sentinel-2.

IV's	36 DAS	66 DAS	91 DAS	111 DAS
VARI	0,47*	0,53*	0,66*	0,52*
NDVI	0,48*	0,58*	0,62*	0,42
NDRE	0,33	0,61*	0,42	0,33

Fonte: O Autor (2022). \*Significativo (p-valor <0,05). DAS = Dias após a sementeira.

Almeida (2004), conduziu um experimento na Estação Experimental Agronômica da Universidade Federal do Rio Grande do Sul, e com imagens derivadas de um espectrorradiômetro e correlacionou cenas a partir do Landsat-8 e constou dados semelhantes do índice NDVI para níveis de clorofila A e B, sendo registrado um intervalo de 0,45 – 0,78, uma vez que se disponibilizou fatores e manejo parecidos para o desenvolvimento da cultura, apresentando alta correlação entre os dados.

Em relação a dados de índice de Clorofila B e os índices vegetativos (Tabela 8), na data de 91 DAS em correlação com os índices NDVI e VARI (0,54 – 0,52) foi onde observou-se a maior correlação significativa. Em seguida nas datas de 111 DAS para índices VARI e NDVI (0,49 – 0,47) e 66 DAS com o índice NDRE (0,56) observou-se que há correlação significativa entre as médias e assim para todas as faixas obtidas sendo classificadas como correlação moderada, já para a data de 36 DAS obteve o resultado se nenhuma significância entre todos os índices vegetativos e nível de clorofila B, e representados no intervalo onde classifica a correlação muito fraca.

**Tabela 8** - Correlação de Pearson entre os dados de índice de Clorofila B (83 DAS) e os IV's (VARI, NDVI, NDRE) em diferentes cenas do satélite Sentinel-2.

IV's	36 DAS	66 DAS	91 DAS	111 DAS
VARI	0,19	0,23	0,52*	0,49*
NDVI	0,14	0,34	0,54*	0,47*
NDRE	0,14	0,56*	0,42	0,36

Fonte: O Autor (2022). \*Significativo (p-valor <0,05). DAS = Dias após a sementeira.

Ferri (2004), realizou um experimento na cidade de Campinas – SP, com uma cultivar da soja com parâmetros semelhantes ao do presente estudo, sendo ela o IAC17 que apresenta características de ciclo precoce e recomendada para solos com média a alta fertilidade, onde observou valores de NDVI semelhantes aos obtidos, apresentando dados relativos a R5 até R8 com correlação ao índice de clorofila, onde obteve respectivamente a faixa de 0,75 - 0,37,



sendo que estes valores representam a diminuição do valor do índice de clorofila por conta do processo de maturação fisiológica, ao referenciar em 91 DAS e 111 DAS tiveram os maiores valores obtidos.

### **Conclusões**

Na correlação entre dados produtivos e índices vegetativos, há significância dos dados obtidos a campo em relação a todos os índices utilizado, em destaque NDVI e VARI 91 DAS com intervalo de 0,59 – 0,62.

As maiores correlações entre Clorofila A e B e índices de vegetação aconteceram em 91 DAS com intervalo 0,52 – 0,66.

Os menores valores obtidos foram na data de 36 DAS, uma vez que somente dados correlacionados de clorofila A e os índices NDVI e VARI apresentaram significância estatística.

Existe viabilidade na utilização de sensores oriundos do Sentinel-2 para aquisição de dados de sensoriamento remoto.

## Referências

AGUASPARANÁ – Instituto das Águas do Paraná. **Alturas diárias de precipitação 2021/2022 na cidade de Cascavel – PR.**

ALMEIDA, T. S.; FONTANA, D. C.; MARTORANO, L. G.; BERGAMASCHI, H.; DALMAGO, G. A. **Associação entre teor de clorofila na folha e a refletância da cultura da soja em distintas condições de manejo.** 2004. Universidade Federal do Rio Grande do Sul.

ATZBERGER, C. Advances in remote sensing of agriculture: Context description, existing operational monitoring systems and major information needs. **Remote sensing**, v. 5, n. 2, p. 949-981, 2013.

BHERING, S. B.; DOS SANTOS, H. G.; MANZATTO, C. V.; BOGNOLA, I. A.; FASOLO, P. J.; DE CARVALHO, A. P.; POTTER, R. O.; CURCIO, G. R. Mapa de solos do estado do Paraná. **Embrapa Solos-Documentos (INFOTECA-E)**, 2007.

BRANDÃO, Z. N.; BEZERRA, M. V. C.; FREIRE, E. C.; SILVA, B. B. (2008). Agricultura de precisão para gerenciamento do algodão. **O agronegócio do algodão no Brasil.** Brasília: Embrapa Informação Tecnológica, cap. v. 20, p. 1309, 2008.

BRASIL. Ministério da Agricultura, Pecuária e Abastecimento. Secretaria de Defesa Agropecuária. **Regras para análise de sementes.** Brasília, DF: Mapa/ACS, p. 398, 2009.

BRAZ, A. M.; ÁGUAS, T. D. A.; MIRANDOLA GARCIA, P. H. Análise de índices de vegetação NDVI e SAVI e índice de área foliar (IAF) para a comparação da cobertura vegetal na bacia hidrográfica do córrego Ribeirãozinho, Município de Selvíria – Ms. **Revista Percorso**, v. 7, n. 2, p. 5-22, 2015.

CALLEGARI-JACQUES, S. M. **Bioestatística: princípios e aplicações.** Porto Alegre: Artmed, 2003.

CAMBARDELLA, C. A.; MOORMAN, T. B.; NOVAK, J. M.; PARKIN, T. B.; KARLEN, D. L.; TURCO, R. F.; KONOPKA, A. E. Field-scale variability of soil properties in central Iowa soils. **Soil science society of America journal**, v. 58(5), p. 1501-1511, 1994.

CARNEIRO, F. M. **Sensores de dossel no monitoramento da variabilidade temporal das culturas da soja e do amendoim.** 2018. Dissertação de Doutorado. Universidade Estadual Paulista - Campus Jaboticabal.

CONAB - COMPANHIA NACIONAL DE ABASTECIMENTO. **Acompanhamento da Safra Brasileira de Grãos**, Brasília, DF, v.8, safra 2021/22, n. 8 oitavo levantamento, maio. 2022.

FERRI, C. P.; FORMAGGIO, A. R.; SCHIAVINATO, M. A. Narrow band spectral indexes for chlorophyll determination in soybean canopies [Glycine max (L.) Merrill]. **Brazilian Journal of Plant Physiology**, v. 16, n. 3, p. 131-136, 2004.

GARSON, G. David., **Statnotes: Topics in Multivariate Analysis.** 2009. Disponível em: <<http://faculty.chass.ncsu.edu/garson/PA765/statnote.htm>>. Acesso em: 14 set. 2021.

GOMES, F. P. **Curso de estatística experimental**. 15. ed., Piracicaba: FEALQ, 2009, 451 p.

GROFF, E. C. **Comportamento do NDVI da cultura da soja e sua relação com as variáveis agronômicas**. 2010. Dissertação de Mestrado. Universidade Estadual de Maringá.

LIU, W. T. H. **Aplicações de sensoriamento remoto**. 2. ed. Campo Grande: Ed. UNIDERP, 2006. 906 p.

MIOT, H. A. Avaliação da normalidade dos dados em estudos clínicos e experimentais. **Jornal vascular brasileiro**, v. 16, p. 88-91. 2017.

MONTEIRO, P. H. S. **Comportamento espectro-temporal da soja utilizando sensores orbitais e não orbital e correlação dos índices de vegetação com a produtividade**. 2021. Dissertação de Mestrado. Universidade Tecnológica Federal do Paraná.

PADOLFI, A. S.; DOS SANTOS, O. L., RAMALDES, G. P. Análise de índice de vegetação através de imagens obtidas por VANT. **Revista Científica FAESA**, v. 14, n. 1, p. 145-165, 2018.

RITCHIE, G. L.; SULLIVAN, D. G.; VENCILL, W. K.; BEDNARZ, C. W.; HOOK, J. E.. Sensitivities of normalized difference vegetation index and a green/red ratio index to cotton ground cover fraction. **Crop science**, v. 50, n. 3, p. 1000-1010, 2010.

SANTOS, L. A. C.; DE LIMA, P. E. M. Comparação entre diferentes algoritmos de classificação supervisionada em imagens Landsat-8 no mapeamento temático da bacia hidrográfica do rio caldas, Goiás. **Revista Brasileira de Geografia Física**, v. 12, n. 03, p. 961-972, 2019.

SCHNEIDER, P.; ROBERTS, D. A.; KYRIAKIDIS, P. C. A VARI-based relative greenness from MODIS data for computing the Fire Potential Index. **Remote Sensing of Environment**, v. 112, n. 3, p. 1151-1167, 2008.

STREIT, N. M., CANTERLE, L. P., CANTO, M. W. D., & HECKTHEUER, L. H. H. As clorofilas. **Ciência Rural**, v. 35, n. 03, p. 748-755. 2005.

VIÑA, A.; GITELSON, A. A.; RUNDQUIST, D. C.; KEYDAN, G.; SCHEPERS, J. Monitoring maize (*Zea mays* L.) phenology with remote sensing. **Agronomy Journal**, v. 96, p. 1139-1147, 2004.

WREGE, M. S.; STEINMETZ, S.; REISSER JUNIOR, C.; ALMEIDA, I. R. **Atlas climático da região sul do Brasil: estados do Paraná, Santa Catarina e Rio Grande do Sul**. Pelotas: Embrapa Clima Temperado; Colombo: Embrapa Florestas, 2012.

ZANZARINI, F. V.; PISSARRA, T. C.; BRANDÃO, F. J.; TEIXEIRA, D. D. Correlação espacial do índice de vegetação (NDVI) de imagem Landsat/ETM+ com atributos do solo. **Revista Brasileira de Engenharia Agrícola e Ambiental**, v. 17, p. 608-614, 2013.